

1.3 小名浜港におけるポンプ浚渫船の実績と分析

運輸省第二港湾建設局

小名浜港工事ノ務所

正員 赤塚 雄三

○ 村田 充

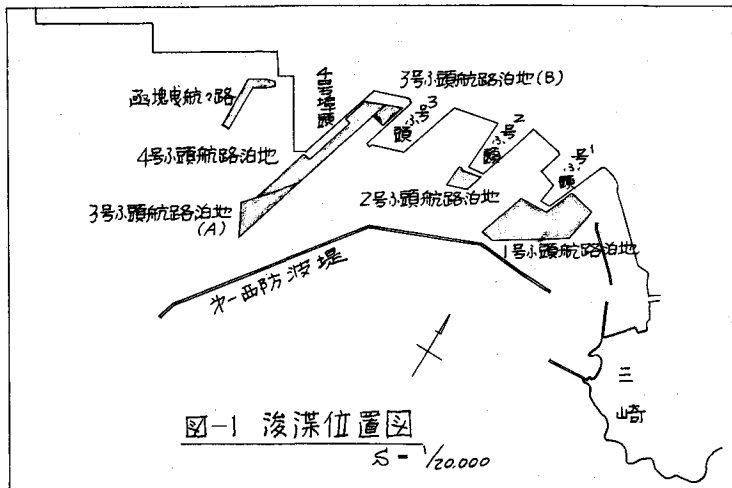
東北工業大学 学生員 今野 健治

I 概要

本報告は、小名浜港において昭和43年度および昭和44年度にあこなた浚渫工事の実績と分析である。元来ポンプ浚渫は大量の土砂の浚渫と埋立てを同時にあこなうところに大きな特徴があり、その稼動率が工費や工期に大きな割合を占めるものである。一方工期を決めるうえにおいて、海象条件特に波高について、浚渫可能と考えられる限界波高を決めることが非常に難しい。そこで当港における過去2年の資料から、波高と稼動率、波高と余堀厚、土質と余堀厚についての関係を見り出そうとするものである。

II 調査対象工事

1. 施工位置 図-1に示す



2. 工事に従事した作業船 表-1に示す

表-1 工事に従事した作業船

船名	動力	主機馬力	排水量	船体寸法			公称 能力	排砂 管至	浚渫 深度	乗組員	製造年
				長さ	巾	深さ					
泰生号	ディーゼル	5,200 PS	2,100 t	66.9"	18.5"	37"	23"	1,500 m ³	780 m	25.0'	23人
東山丸	"	2,100	1,056	42.7	13.0	3.3	1.9	440	630	18.2	12人
未広丸	"	1,500	720	36.4	11.0	3.0	1.8	340	560	18.0	10人

3. 計画数量に対する実績の検討

表-2に示したことく、計画数量に対して竣工土量が非常に多く、一番多いところでは2倍強、平均しても1.5倍の土量を掘っていることが判る。この事はポンプ浚渫の余堀厚との関連があると思われるが、その原因について記してみると

1. 工期の関係上、多少の悪条件でも施工せざるを得なかつたこと。
- ロ. オペレーターの技術
- ハ. 手直し浚渫を防ぐため、施工時に多少余堀厚に余裕をとつて掘ること。
- 二. 土厚が平均的でなく、特に土厚の薄い場所があつたこと。
- ホ. 現場での潮位のとり方による誤差

等が考えられる。

表-2 工事の概要及び実績

工事名	工期	面積	水深	計画土量(A)	竣工土量(B)	(B)/(A)	平均土厚	余堀厚
3号ふ頭航路 及泊地浚渫	自 43.10.30 至 44.2.13	A区域 29,310 ^{m²} BE域 13,870	-10m	岩盤 20,850 ^{m³} 土砂 1,580 土砂 80,180	岩盤 32,354 ^{m³} 土砂 1,897 土砂 84,430	1.55 1.20 1.47	6.6m	0.55m
1号ふ頭航路 及泊地浚渫	自 44.2.20 至 44.3.30	135,100	-90	岩盤 25,456 土砂 90,533	岩盤 46,747 土砂 187,286	1.83 2.09	0.8	0.64
2・4号ふ頭航路 及泊地浚渫	自 44.5.2 至 44.7.31	2号ふ頭 32,000 4号ふ頭 A区域 21,220 BE域 42,280	-10	土砂 60,398 土砂 90,000 岩盤 38,195 土砂 39,226	土砂 90,830 土砂 113,880 岩盤 46,910 土砂 39,780	1.51 1.26 1.22 1.01	2.5	0.64
函塊曳航路 浚渫	自 44.9.10 至 44.10.30	19,508	-8.0	土砂 52,962	土砂 64,097	1.21	2.3	0.68

III. 浚渫区域の土質

浚渫区域の土質調査は、ソノストレーナーによる岩盤深度調査と、数卓のポーリング以外資料が無いので、岸壁および防波堤の土質柱状図を用いて、地層想定図をつくり浚渫区域のN値を推定した。

IV. 移動実績

1. 運転状況

本調査で用いた運転時間とは、浚渫時間、スポット打替、前進時間、吸揚排掃時間及び修理時間の合計とした。調査期間中の延べ工事日数は313日で、移動日数は249日で約80%の稼働率であった。

2. 海象条件

函塊曳航路浚渫については、浚渫区域の傍の波高桿による観測値を用いた、他の区域については港口部の波高から次の方法で推定した。

1. 3号ふ頭及び4号ふ頭航路泊地浚渫については、昭和44年から45年にかけて、4号ふ頭先端及び基部に波高桿をとりつけ、港口部と同時観測をあこなつて、それで換算係数を求めて推定した。
- ロ. 1号ふ頭及び2号ふ頭航路泊地浚渫については、模型実験による波高比および解析図による値をもとに推定した。

3. 余堀厚

竣工図から計画水深を差し引いて求めた。

V 移動実績の検討

1. 波高と移動率

図-2は縦軸に波高、横軸に周期をとり
浚渫船の移動および休止との関係を示したものである。

当港における周期は図から6~13秒の範囲で出現しており、周期が大きくなるにつれて移動可能な波高は低下する傾向がみられるが概ね60cm程度が限界波高と推定される。

次に移動日における波のエネルギーを定期別に求めるところ図-3の通りである。

この図からエネルギーが大きくなるに従って出現率が低下していくが0.7~0.8t/m²と1.0t/m²以上でもかなりの出現率を示している。この内容を検討してみると移動時間が極端に低下しており波のエネルギーとして0.6~0.7t/m²が限度と見えよう。一方当港での波の周期は8~11秒が卓越してあり、この条件から波高を求めるとき概ね60cmとなる。

以上の結果から小名浜港におけるポンプ浚渫の限界波高として60cmと推定される。

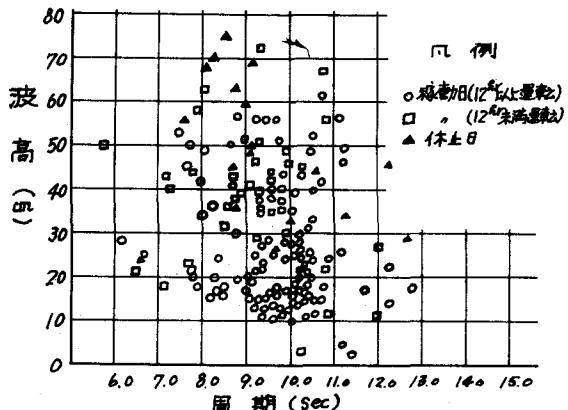


図-2 波高及び周期と移動日、休止日の関係

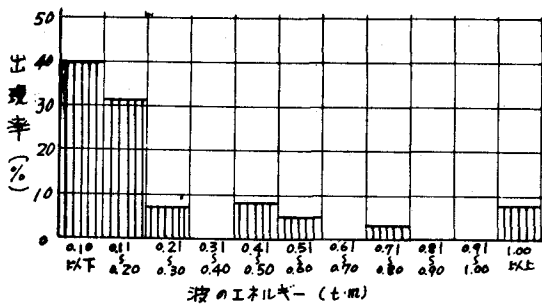


図-3 移動日における波のエネルギー別出現率

ここで用いた波のエネルギーの算定式は

井島 武著「海岸・港湾測量」 p.71

$$E = \frac{1}{8} \omega H^2 (1 - \frac{H^2}{L^2}) n \cdot C$$

ω = 海水の単位重力 (t/m^3) H = 波 高 (m)

$N = \frac{\pi^2}{2(\tan h \frac{2\pi k}{L})^2}$ L = 波 長 (m)

$n = \frac{1}{2} \left| \frac{4\pi k}{\sinh \frac{2\pi k}{L}} \right|$ C = 波 速 (m/sec)

概略値を求めるため

水深 $k = 10m$, 波高 $H = 1.0m$, 周期 $T = 10$ 秒とすると $N \frac{H^2}{L^2} = 0$

また $\frac{k}{N} = 0.14$ $n = 1.0$ $L = C T$

$$\text{故に } E = \frac{1}{8} \omega H^2 \frac{L}{T} = 0.129 H^2 \frac{L}{T}$$

上式に移動日の波高、周期を用いてエネルギーの算定を行った。

2. 波高と余堀厚について

図-4は縦軸に波高、横軸に余堀厚をとりN値別に関係を示したものである。

しかしこの資料の範囲では何等の関連も見い出せない。

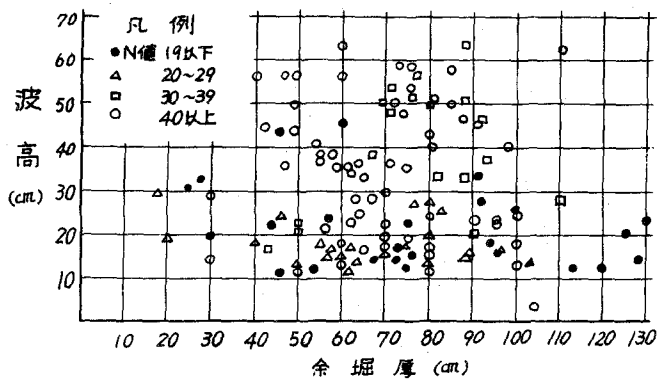


図-4 波高と余堀の関係

3. 土質と余堀厚について

図-5は縦軸にN値、横軸に余堀厚をとり波高別に関係を示したものである。

この結果からも何等の関連も見い出せない。

今回の調査は既往データーのとりまとめが主となつたため充分な成果が得られなかつたが今後施工時に種々のデーターを集めより詳しく述べ分析をしたい。

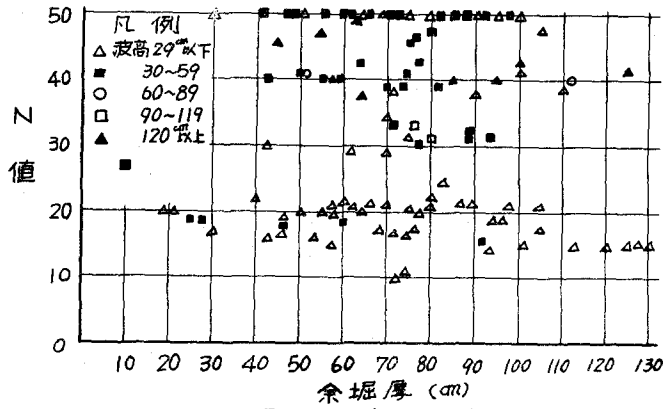


図-5 N値と余堀厚の関係